用逐步判别分析预测宁镇山脉中段铁矿

"冯祖钧 朱慧娟 吴振荣 方长泉

前言

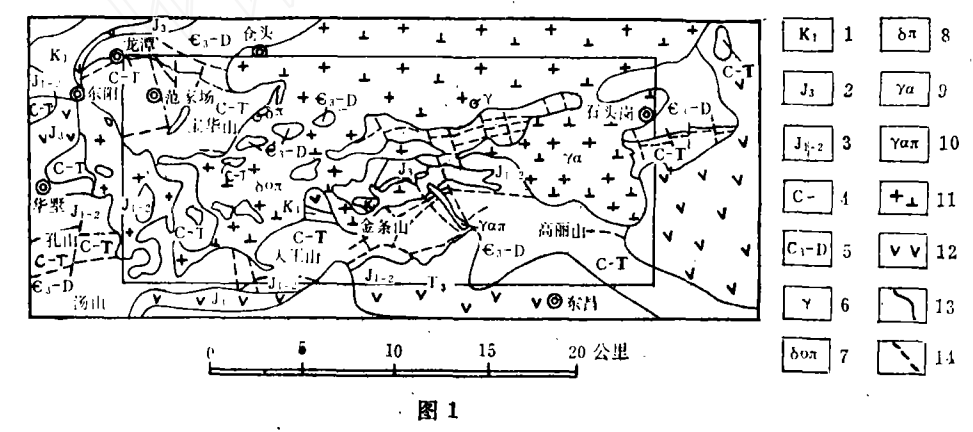
预测找矿有利地区的数学地质方法已相 当多。不同方法适用于不同条件和目的,判 别分析是其中之一。判别分析 又 分 为 若干 种,各适应于不同情况和需要。本文是针对 宁镇山脉中段地质及铁矿的研究现状,采用 贝叶斯准则下的判别分析,在五万分之一比 例尺的地质图上圈出找铁矿有利地段,而不 是具体指出矿床位置与规模。由于资料及我 们的水平所限,本文只是习作,不足为训。

研究地区的地质背景

本文研究地区是前江苏省重工业局1970年编制出版的1:5万《上党幅》和《汤山

幅》地质图的范围。宁镇山脉地质情况众所周知,兹不赘述(图1)。据 生 产 单 位意见,宁镇中段铁矿床以夕卡岩型为主。本文不谈成因类型问题,主要是依据本区已知的有利于找铁矿的地质条件进行数 学 地 质计算。这一带现有一些小铁矿点,较大者只是个别的。据已知资料,与找铁矿有关的地质条件是:

- 1)下二叠统栖霞组、上石炭统船山组与中石炭统黄龙组等层位的灰岩,尤以栖霞组最重要。而中、下三叠统层位的灰岩较次要。其他层位更次要。
- 2)石英二长斑岩、石英二长岩及斑状石英二长岩较重要。而石英闪长斑岩 较次要。



1一下白垩统, 2一上侏罗统, 3一中、下侏罗统, 4一石炭一三叠系, 5一寒武系上统一混盆系, 6一花岗岩, 7一石英闪长斑岩, 8一闪长斑岩, 9一石英二长岩, 10—石英二长斑岩, 11—中酸性侵入岩, 12—中酸性喷出岩, 13—地质界线, 14—断层

3)断裂构造,尤以深部的较重要。 此外,物探的重、磁异常具有很大指示 性。

但现有这份1:5万地质图上,地层划分还较准确,而火成岩的分类则较粗略,断裂构造的表示精度很差。物探方面,除航磁等值线可供利用外,地面磁、重资料均连不成片,不能作区域性的数学地质计算。因之,本文就只用地质图上的地层岩性、火成岩、某些重要的接触界线等三种资料,配合

1:5万航磁等值线图,进行取值计算。

工作原理和方法

本文采用贝叶斯准则下的逐步判别分析 进行计算。首先说明取值方法:

将两幅1:5万地质图(具有航磁等值线)划分成若干1×1公里的方格。划分时应严格与经纬度配合,但本图幅上掩盖太多,为了充分利用基岩出露面积,未按经纬度划分格子。只对有基岩分布的格子取值,

但一格中掩盖面积超过25%则不用。本图只 取了156 格。将每个方格划分成1×1毫米 的400个小方格。每格中需要取值的地层或火 成岩均数出其面积所占的小方格数, 再换算 成对400的百分比。如一格中有部分掩盖(小 于25%),则将剩下的基岩面积当成100% 来计算各种岩性的百分比。接触界线按其在 1×1公里方格中的长度取值。因接触界线 在1平方毫米的小格中可当成直线, 故其长 度就按所经过的小方格数取值。然后记下该 接触线在方格中出现的次数。若断层线、褶 皱轴线可以利用,则亦可按此方式取值。也 可按1×1公里方格的中心点与断层线或褶 皱轴线的垂直距离取值(仍以小 方 格 数 表 示)。每格的中心点处的航磁等值线伽冯数 即为其航磁取值。如采用地面物、化探等值 线,则亦按此法取值。

被取值的各项指标就是为建立判别函数用的随机变量。本文用的随机变量 共12个,依次为:

 x_1 一中、下三叠统地层(T_{1-2})。灰岩与页岩。

 x_2 一上二叠统地层(P_2)。页岩、砂岩、煤层。

x₈一下二叠统,上、中石炭统地层(P₁ -C₂-3)。灰岩为主。

 x_4 一下石炭统和上泥盆统地层(C_1 — D_3)。砂岩、页岩,少量灰岩。

 x_5 一志留系地层(S)。砂岩、页岩。

 x_6 一石英闪长斑岩($\delta o \pi$)。

 x_7 一石英二长斑岩、石英二长岩、斑状石英二长岩($\gamma\alpha\pi$ 、 $\gamma\alpha$ 、 $\pi\gamma\alpha$)。

 $x_8-P_1-C_{2+3}$ 与 C_1-D_3 接触界线长度。

 \mathbf{x}_{9} — P_{1} — C_{2} \mathcal{F}_{3} 与 $\gamma \alpha \pi$ 、 $\gamma \alpha$ 、 $\pi \gamma \alpha$ 的接触界线长度。

x10一上述x8的出现次数。

x11一上述xe的出现次数。

x12一航磁值。

为了将全部1×1公里的方格区分成两组,即有矿组和无矿组,必须选取建立两组判别函数用的标准样,可以叫做控制格。按已知铁矿点选出16个有矿控制格。再按现有资料选出20个无矿控制格。同一组控制格不必相连,可分散在各处(图2)。

贝叶斯准则下的判别分析要求判别的母

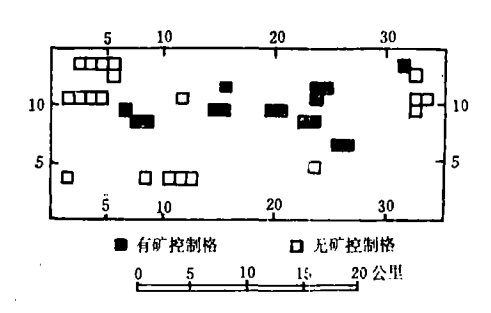


图 2

体应是多元正态分布。但上述随机变量在两组控制格内的取值几乎都不是正态分布,因而必须作变换处理。如果研究面积大,取样量大,控制格多,则可用对数变换、三角函数变换、方根变换等,使每个随机变量的实测数据经变换后,其偏度接近于零,峰度接近于三,即大体近似正态分布。但本文由于取样量较少,故只作了一些对数变换,未达到正态分布的要求。

两组判别函数建立后,就可计算出156 个方格分别归属于有矿组或无矿组的后验概率值,亦即将某一格判别为某一组的可靠程度的概率。最后再统一按归属于有矿组的后验概率值绘制等值线图,就能反映出找铁矿的有利地段了。

这种作法的理论根据如下:

关于判别分析本身这里不谈了, 只说明 如何把它应用于矿产预测。

设随机事件{找到铁矿}为AB, {铁矿生成}为B, {在铁矿存在的条件下找到铁矿}为A|B, 则按概率乘法定理行

P(AB) = P(B)P(A|B)

我们要求的是后验概率

P(A|B) = P(AB)/P(B) 这种关系也可用下式表示

$$P(x) = F(x)G(x)$$

式中P(x)为找到X铁矿床的无条件概率; F(x)为X铁矿床生成的概率;G(x)为 在X铁矿床存在的条件下而找到 X铁矿床的 概率。把G(x)与F(x)当作独立事件。 显然,F(x)是研究问题的关键。但F(x) 不易知道。根据成矿理论,我们可以转而考 虑下述的函数关系

$$V = Q(X_1, X_2, ..., X_n)$$

 $P(V) = G(X_1, X_2, ..., X_n, V)$
式中V为铁矿床的某种计量; $P(V) = V$

15

生成的概率, X_1 , X_2 , …, X_n 是反映成矿地质作用的各项地质因素,如地层、构造、火成岩等。

从理论上讲,每项地质因素都是一个随机变量,而且都有一定的数值范围。 V也是如此。因而它们的多维概率分布函数的一般式可写成

$$P_V, \chi_1, \chi_2, \dots, \chi_n = G (V, X_1, X_2, \dots, X_n)$$

从而可得V的条件概率分布函数为

 $P(V|X_1, X_2, \dots, X_n) = G(V, X_1, X_2, \dots, X_n) / G_{X_1, X_2, \dots, X_n}(V, X_1, X_2, \dots, X_n)$ 式中 $G_{X_1, X_2, \dots, X_n}(V, X_1, X_2, \dots, X_n)$ 为V的边际分布函数。

若已知函数G的表达式,即可计算出V的条件概率。但函数G是未知的。

可以把每项地质因素 X_i 设想成一个线性组合,即令

$$X_{i} = \sum_{j=1}^{m} a_{ij} Y_{j}$$
 (i = 1,2,...,n)

式中 X_i 为理论上的地质变量, Y_i 是从 地质图上实测的地质变量。对任一 X_i 来 说,某些 Y_i 的系数可以是零,即可能有 X_i = $a_{ij}Y_{jc}$ 将每项实测变量通过适当变换,使之接近正态分布。因而图上每个 1×1 公里的方格就成为一个个体,其矢量 符号 为Y= (y_1,y_2,\dots,y_m) 。根据贝叶斯准则,对于给定的个体Y来自母体 A_g 的条件概率(后验概率)为

$$P(g|Y) = q_g f_g(Y) / \sum_{i=1}^{G} g_i f_i(Y)$$

式中G为母体个数 $, f_g(Y)$ 为母体 A_g 的概率密度函数 $, q_g$ 为先验概率。

若只有两个母体,即有矿组和无矿组,则按两组控制格建立两个判别函数,就可求得计算每个1×1公里方格分组归属概率(后验概率)的表达式

$$P_{1} = e^{f_{1}(y_{1}, y_{2}, ..., y_{m})} / \sum_{R=1}^{2} e^{f_{R}(y_{1}, y_{2}, ..., y_{m})}$$

(1=1,2)

由此可见, 采用贝叶斯准则下的判别分

析来处理**我**们所设想的找铁矿的概率模式是 合理的。

计算结果

先对两组控制格进行逐步判别。令引人变量和剔除变量的检验临界值相等,即 F_1 = F_2 = 2。各步计算的主要结果列表如下(表 1)。

表 1

计算 步数	引入(+) 或 <i>剔</i> 除 (-)变量	中变量	F	u	x2
1	+ x ₇	1	35.16	0.492	23.79
2	+ x ₁ 1	2	4.21	0.436	27.39
8	+ x2	8	4.24	0,385	31.01
4	+x12	4	4.17	0.339	34.57
5	+x0	5	2,21	0.316	36.27
6	+x8	6	4.34	0,275	40.02
7	+ x ₅	7	3.58	0.244	43.05
8	-x11	6	1.45	0.256	42.19
8	+x1	7	2.23	0.237	43.85
10	+ x ₁₁	8	2.80	0.215	46.09
11	- xa	7	1.42	0,226	45.29
12	+ x ₃	8	3.15	0.203	47.86
13	-x ₈	7	0.26	0.205	48.37

表1中,F为引入或剔除变量的检验统计量;u为判别效果检验的威尔克斯(Wilks)统计量; χ^2 为u的近似检验统计量。由表1可见,逐步判别计算结果引入7个变量,u=0.205, $\chi^2=48.37$ 。查 χ^2 分布表,得出

$$\chi^{2}_{0,01}(v(g-1)) = \chi^{2}_{0,01}(7) =$$

18.48<48.37故两组差异显著, 判别效果良好。

求出两组判别式如下(f_1)为有矿组, f_2)为无矿组):

$$f_1 = 86.40x_1 + 117.56x_3 + 92.68x_5 + 65.50x_6 + 98.92x_7 + 352.67x_{11} + 127.63x_{12} - 420.17$$

$$f_2 = 75.77x_1 + 104.10x_3 + 81.27x_6 + 56.33x_6 + 82.77x_7 + 325.49x_{11} + 110.51x_{12} - 328.25$$

马哈拉诺比斯 (Mahalanobis) 距离: D² = 14.85;

马氏距离的F检验统计量: F = 14.42 查F分布表,得出

$$F_{\alpha}$$
 (v, $N-g-v+1$) = F_{α} (7.28) =

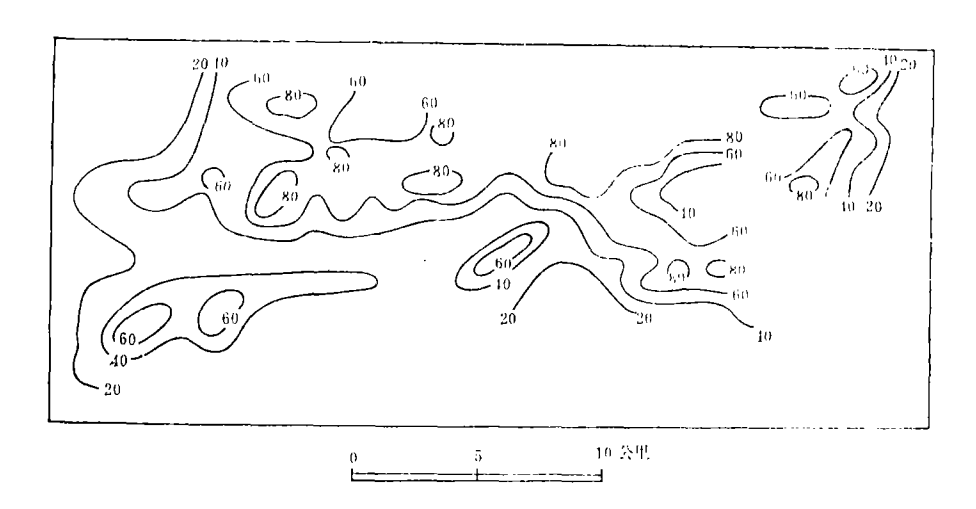


图 3

$$\begin{cases} 2.36, & \alpha = 5 \% \\ 3.36, & \alpha = 1 \% \end{cases}$$

都小于F = 14.42很多,两组差异大,判别效果好。两组控制格的判别矩阵如下:

				表 2		
计算分组	原分组	1	2	合	t	
1		16	1	17		
2	. \\	0	19	1	9	
总 计		16	20	36		

仅在无证控制格中判错一格,这说明上 面建立的两组判别式与实际地质情况符合。

按贝叶斯定理, 计算出每个1×1公里 方格归属于有矿组或无矿组的概率。再统一 按归属有矿组的概率值绘制出1:5万等值

线图(图3)。

由图可见,80%概率等值线圈定的地段自东向西有:①石马庙,戴家村东北面,十里长山的西南端。②韦岗村以西十余里的上沟村一带。③香山、巢凤山、天王山等北东东一线。④桥头镇以南六、七里的谢家窑、朱家边一带。由此再向南五、六里的空青山、白庵一带。⑤范家塘向斜东端以南,林家村一带。⑥由宝华山向西南方一带。

结束语

由于原始资料所限,本文计算结果仅供参考。通过初步尝试,我们认为用此法作矿产预测是可取的。若有精确的地质图及物、化探资料,再有一些已知矿点的可靠数据,将能达到较好的预测效果。

液动冲击回转钻进技术是八十年代金属矿床勘探的一种重要手段

苏联地质部把液动冲击回转钻进技术列为 近十年重大技术成就之一。苏联用此种方法钻进的钻孔直径有 59、76、93和115毫米。钻进岩层从V级到置级,用硬质合金钻头钻进V~置级岩层(部分X级岩层),用金刚石钻头钻进 X~置级岩层。最大钻进孔深达1200米。1976年 此种方法的钻进工作量达九十余万米,计划1980年钻进160万米 (另一资料为300万米)。与钢粒钻进及金刚石钻进相比,钻进每米岩层的成本降低 2~8个卢布。近年来还研制了绳索取芯液动冲击器。

七十年代后期,长春地质学院与有关单位研制成功了 \$18 毫米的液压射流冲击回转钻具。有关兄弟部门研制成 功了\$75 毫米的阀式及液压射流式冲击回转钻具。目前地 质系统有关单位正在研制 \$54 毫米的阀式冲击回转钻具、 特种硬质合金钻头及用于深孔钻进的变量泥浆泵, 拟将液 动冲击回转钻进技术的研究,列为部的重点科研项目。

根据苏联的试验资料,冲击载荷比静压载荷能够更加有效地破碎脆性硬岩,如花 岗岩的 静 硬 度 为 70000 公斤/厘米²,而动硬度为8000公斤/厘米²。采用冲击回转钻进方法,可以在较小的钻压和较低的转速下进行钻进,可以减少钢材消耗,减少孔斜,减少孔内事故,获得较高的弧线钻进速度,提高 钻头 寿命,

降低偿进成本。

在金屬矿床勘探中, 遇到坚便 岩层的机会较多, 特别是遇到弱研 磨性打滑地层, 如能采用小口径冲 击回转方法, 可以获得较好的钻进 效果。



(李常茂)